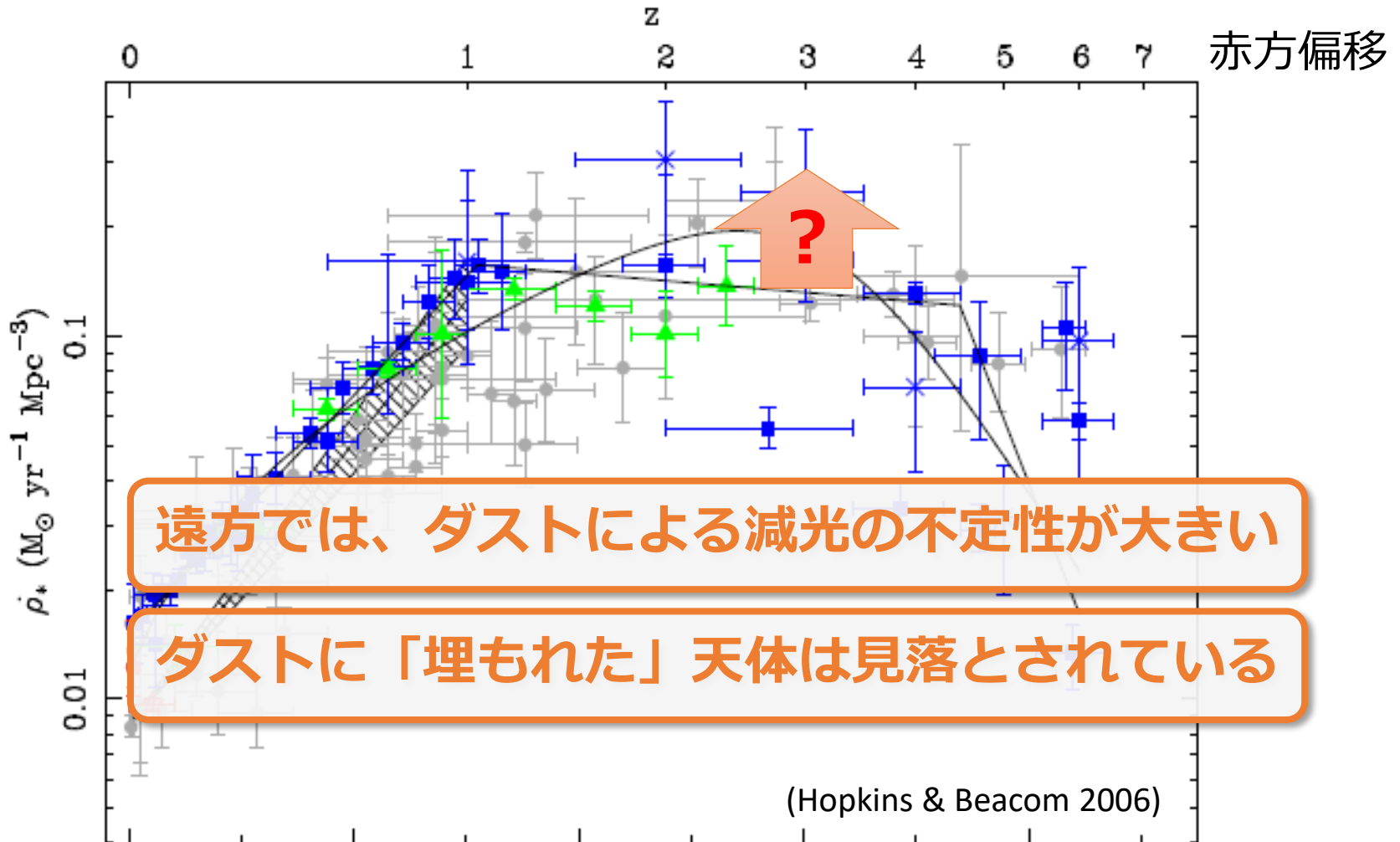


# 研究紹介

廿日出

# 広い観点からの目標 「宇宙星形成史の理解」

星形成率密度

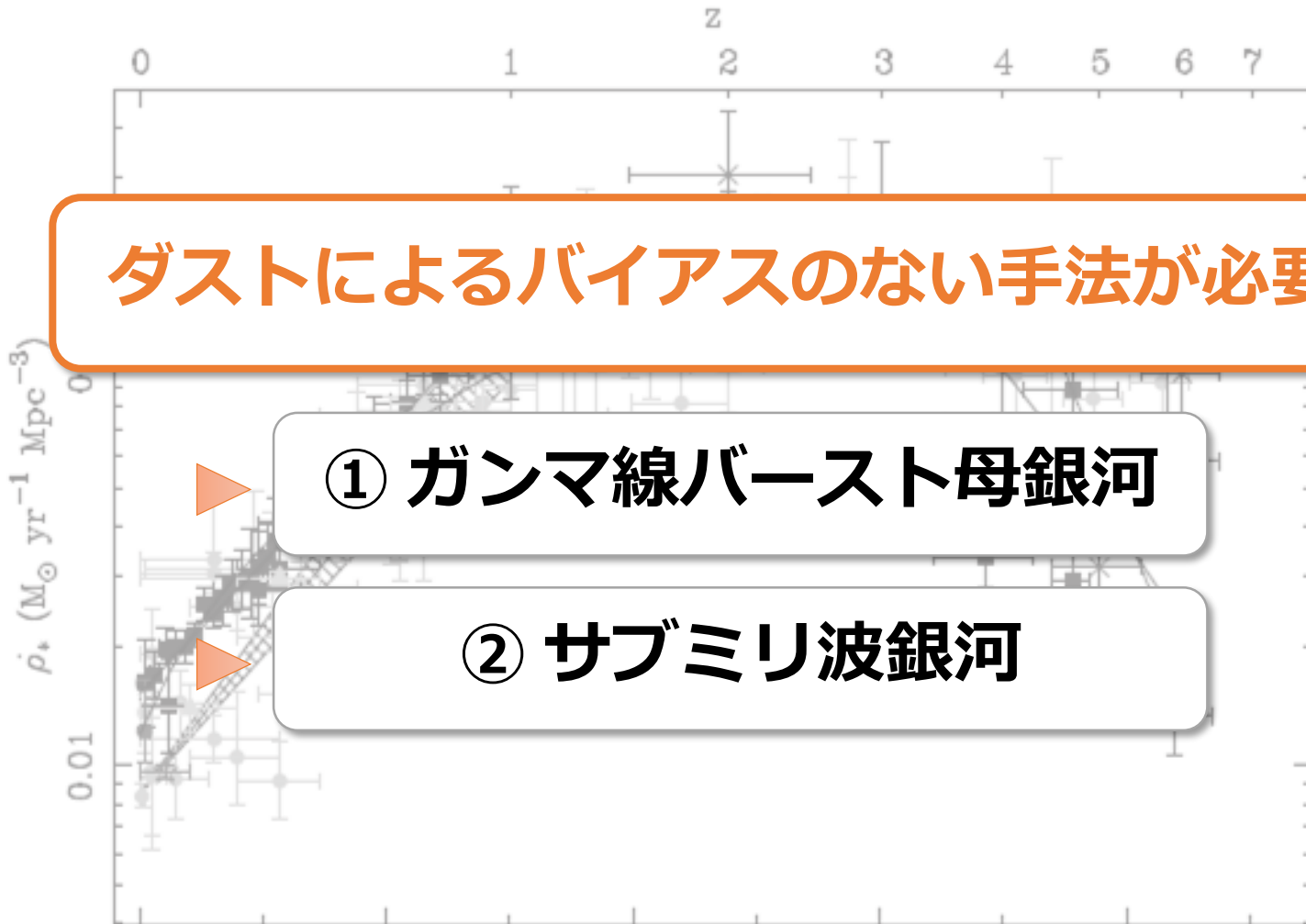


# 広い観点からの目標 「宇宙星形成史の理解」

ダストによるバイアスのない手法が必要

① ガンマ線バースト母銀河

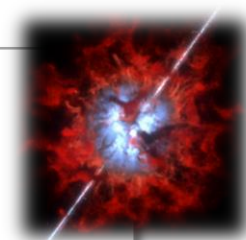
② サブミリ波銀河



# ① ガンマ線バースト母銀河

Long-duration Gamma-ray Burst (GRB)

- 大質量星の終末の大爆発に起因
  - ↳ 星形成活動と密接に関連
- 近傍( $z=0.0085$ )から遠方( $z>7, 8$ )まで検出可



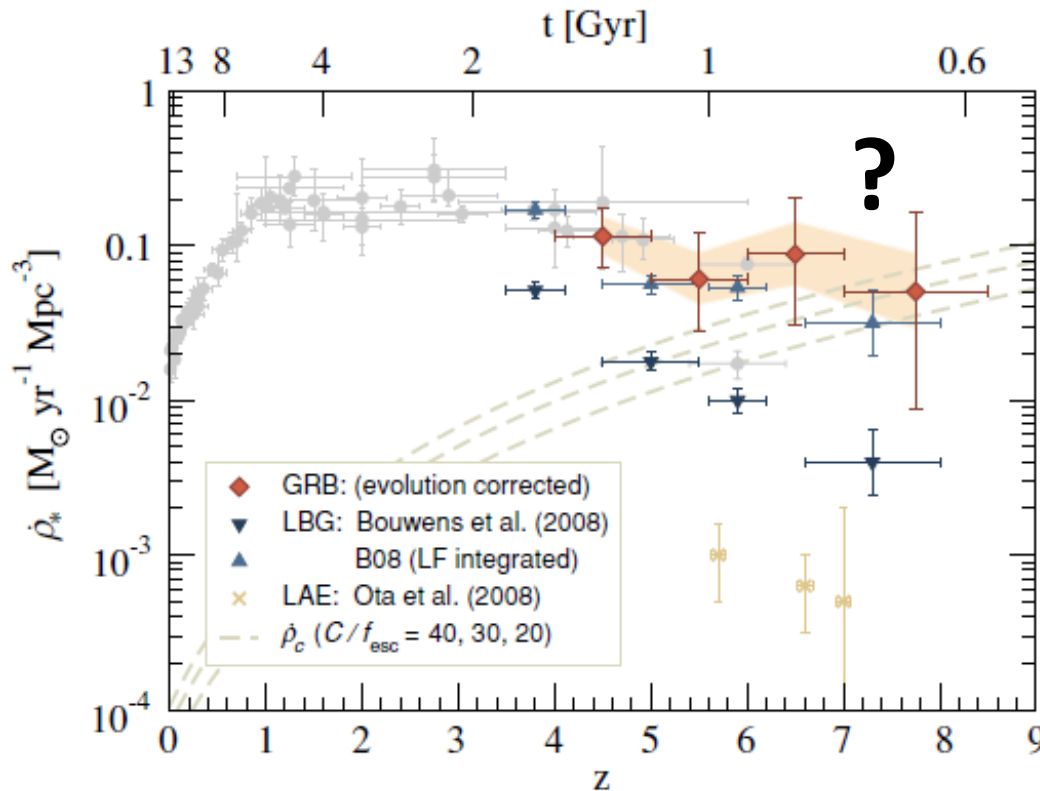
遠方宇宙での星形成活動を探る新たなプローブ

**GRBの発生環境、母銀河における  
星形成活動の理解が必須**

# Long-duration GRBs: Probes of Star-forming Activity

LGRBs can be used as an *unbiased* tracer of star formation?  
e.g., Perley+13, Greiner+15

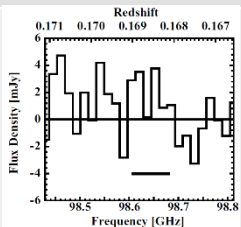
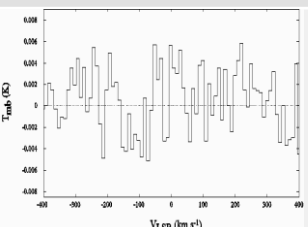
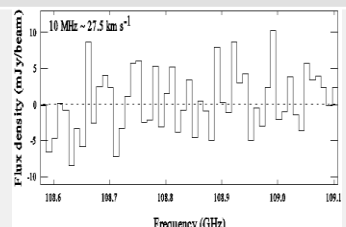
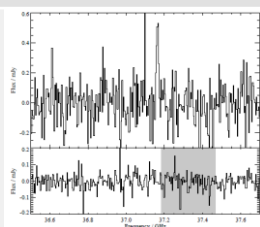
➔ *Need to understand the properties of LGRB hosts*



# 分子ガス(星形成の材料)の観測

CO輝線強度 = 分子ガス質量の指標

これまで検出された例はなかった

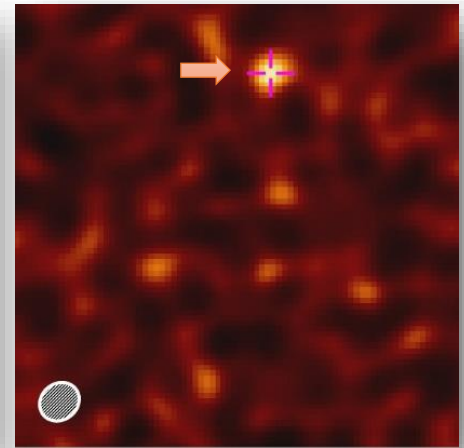
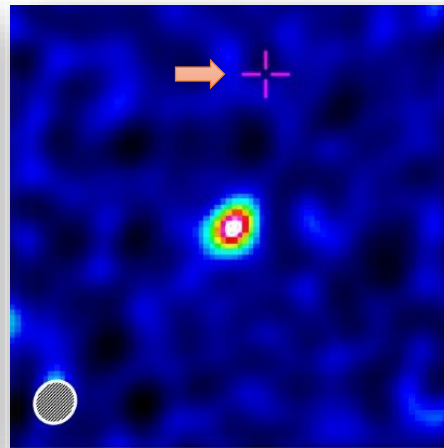
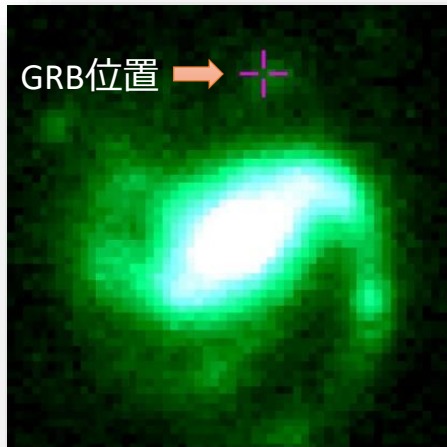
Telescope	NMA	ASTE	PdBI	ATCA
GRB Host	GRB 030329	GRB 980425	GRB 000418	GRB 090423
Date	2003-2005	2005	2006-2007	2010
Ref.	Kohno+05 Endo+07	<i>Hatsukade+07</i>	<i>Hatsukade+11</i>	Stanway+11
Spectra (non detection)				

# ALMAによる観測

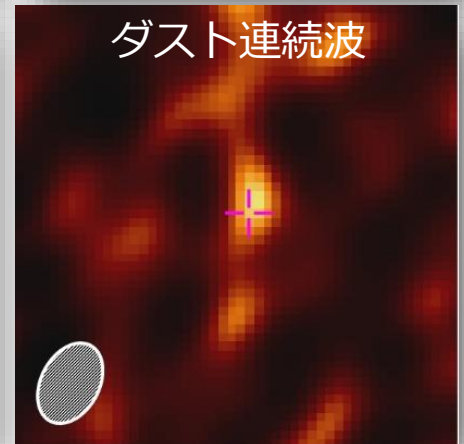
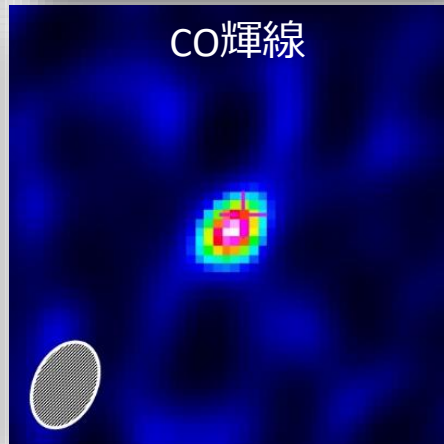
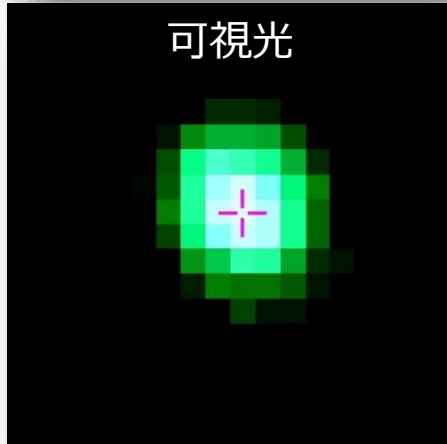
GRB母銀河における初のCO輝線検出 (*Hatsukade+14*)

GRB020819B母銀河では分子ガスとダストの分布が大きく異なる

GRB020819B  
( $z=0.41$ )



GRB051022  
( $z=0.81$ )



# GRBの一般的な発生環境を探る

ALMA観測の結果 (Hatsukade+14)

GRB母銀河の分子ガス量を測定することに成功

➡ **分子ガスの観点から研究する新たな手法を開拓**

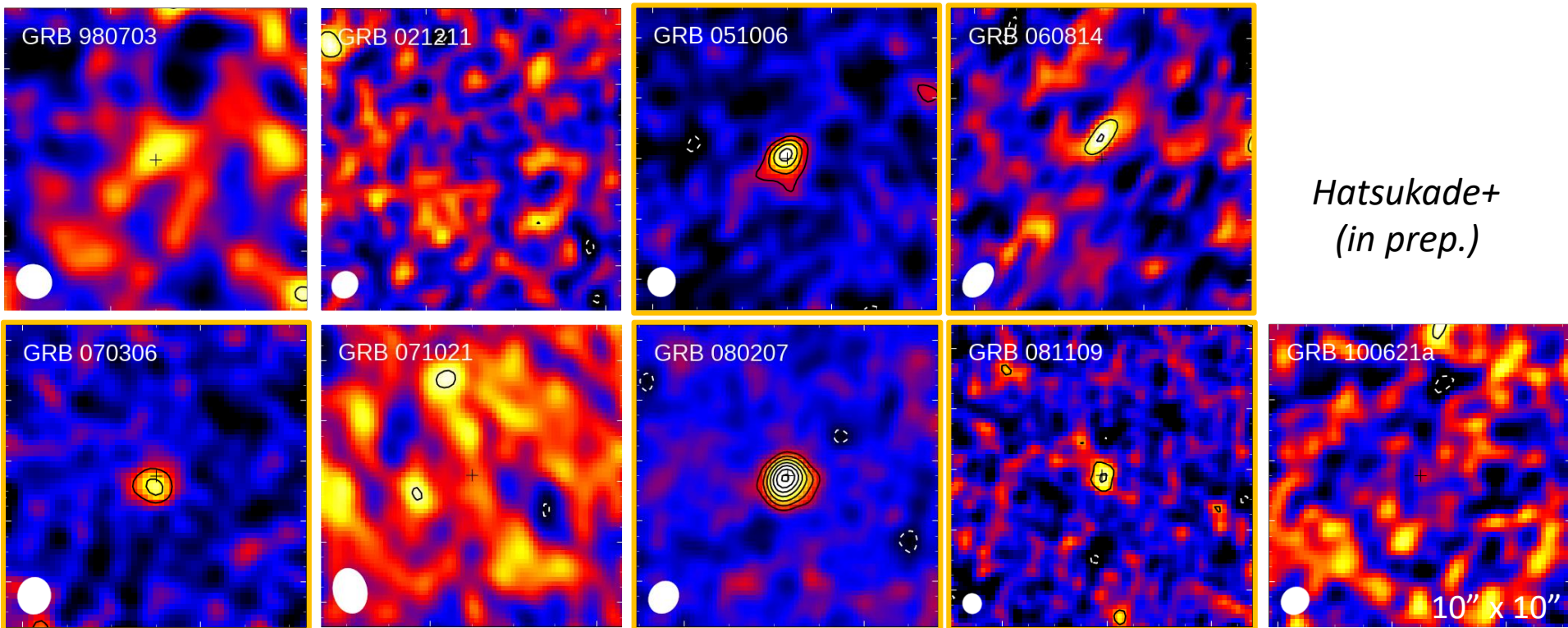
分子ガスとダストの空間分布が大きく異なる

➡ **GRBは特殊な環境で発生か？**

**GRBが発生する一般的な環境を探るには  
他の母銀河での検証が必要**

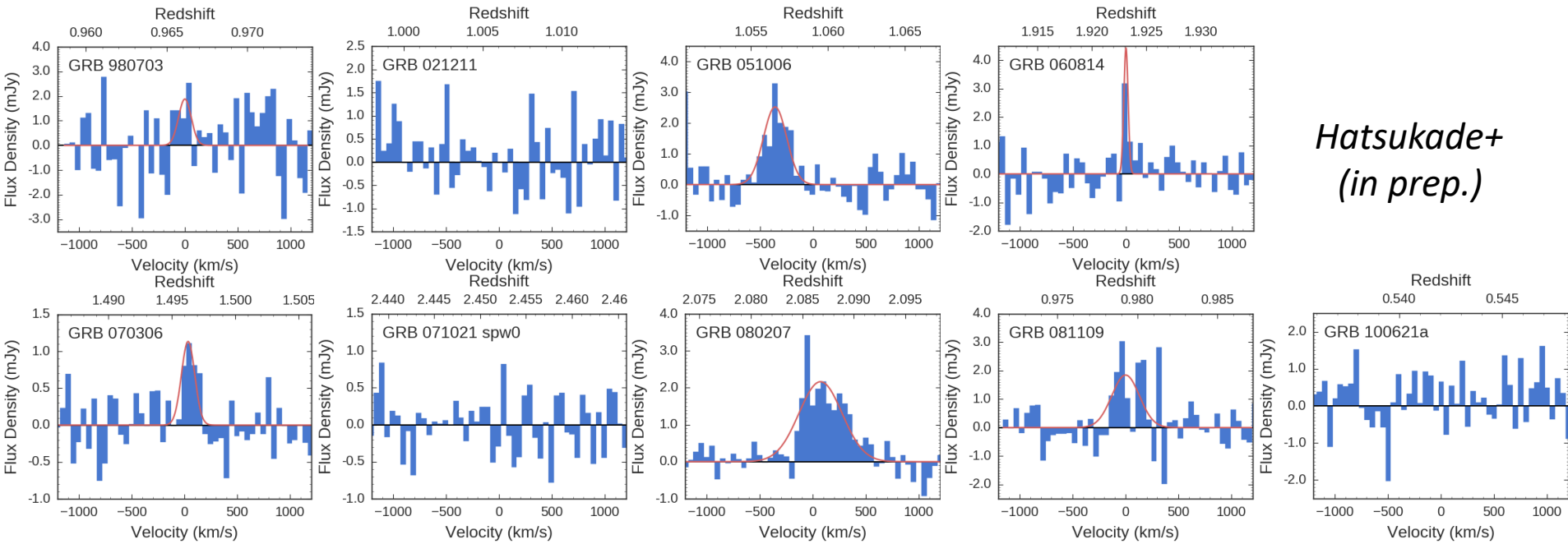
# ALMA cycle 3

- 10 hosts were observed
- CO detection in 5 hosts (+ 1 tentative)
  - $z = 1.0-2.1$



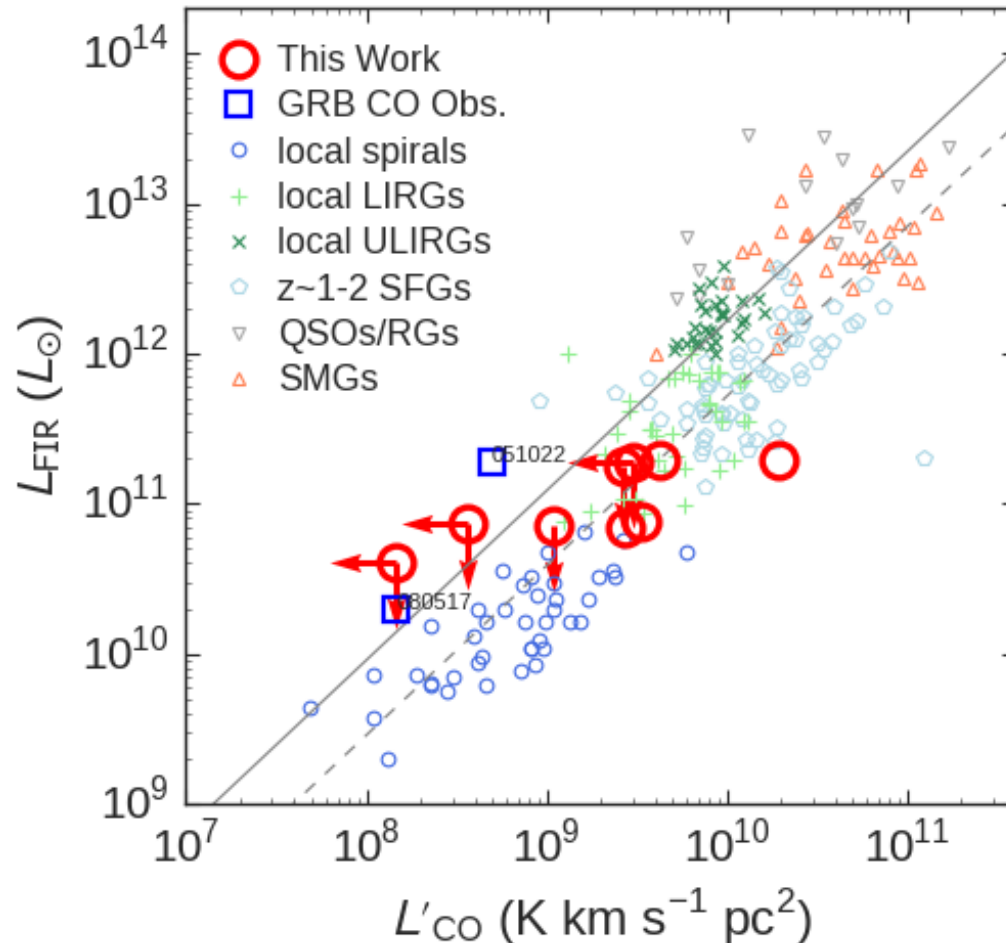
# ALMA cycle 3

- 10 hosts were observed
- CO detection in 5 hosts (+ 1 tentative)
  - $z = 1.0-2.1$



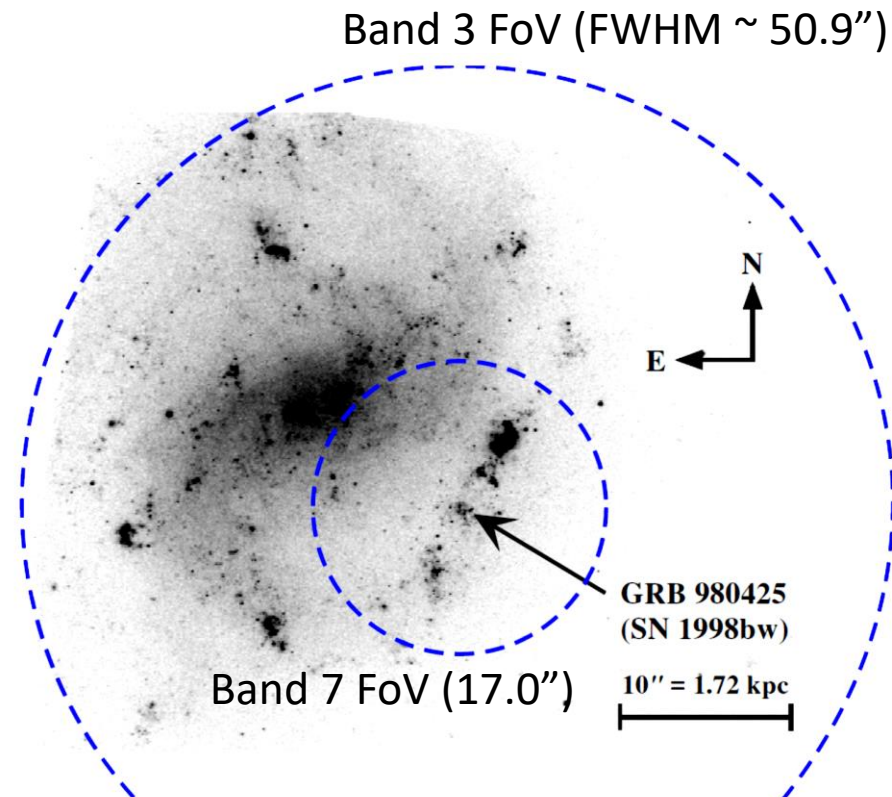
# Star Formation Efficiency (SFE)

SFEs ( $L_{\text{FIR}}/L'_{\text{CO}}$ ): comparable to normal SF galaxies at  $z \sim 1-2$



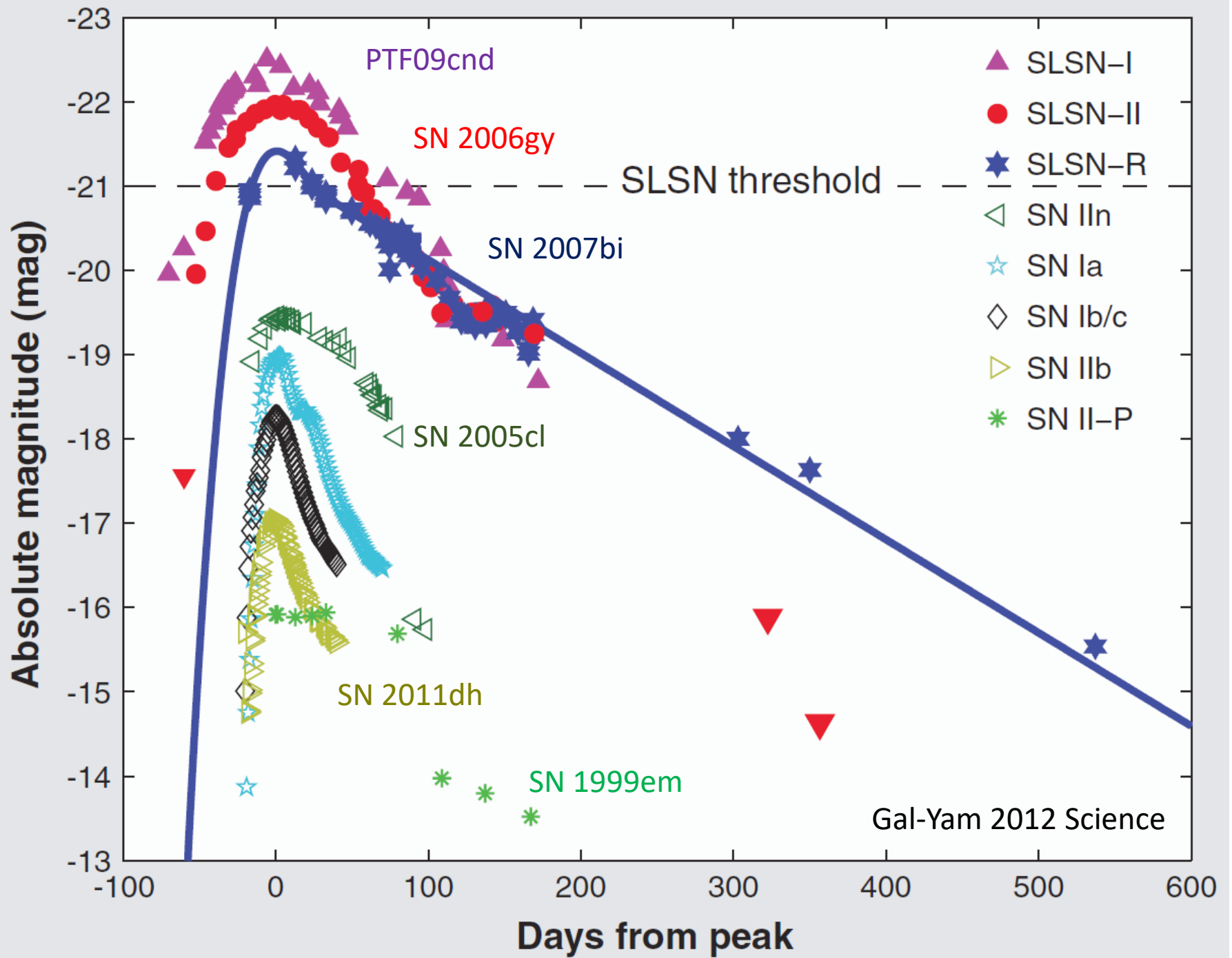
# Cycle 4: GRB 980425 Host

- GMC-scale molecular gas ( $5 \times 10^5 M_{\text{sun}}$ ) with  $\text{SN} \geq 5$
- $0.59''$  resolution (100 pc)
- CO(1-0) at band 3
  - $1\sigma = 1.4 \text{ mJy}$ ,  $\Delta v = 5 \text{ km/s}$
- CO(3-2) at band 7
  - $1\sigma = 3.3 \text{ mJy}$ ,  $\Delta v = 5 \text{ km/s}$



# Super-luminous Supernovae (SLSNe)

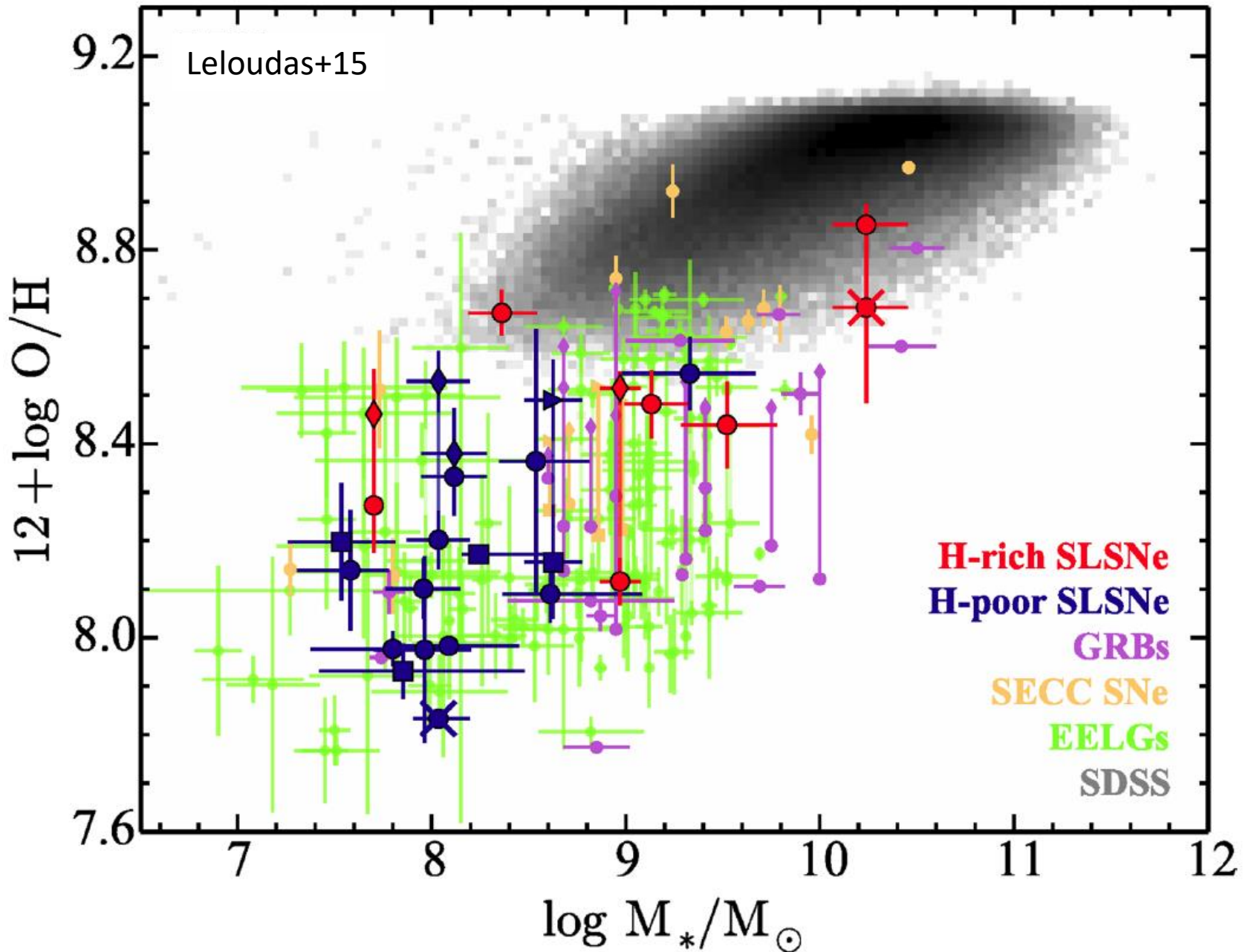
- Very bright explosions,  $\sim 10$ - $100$  times brighter than ordinary Type Ia and core-collapse SNe
  - Gal-Yam 12
- Detected at high redshifts, up to  $z = 3.9$ 
  - Cooke+12
- ➔ powerful indicators of environments in the distant universe
- Classes
  - SLSN-I : hydrogen-poor in spectra
  - SLSN-II: hydrogen-rich in spectra
  - SLSN-R: a long light-curve tail powered by radioactive decay



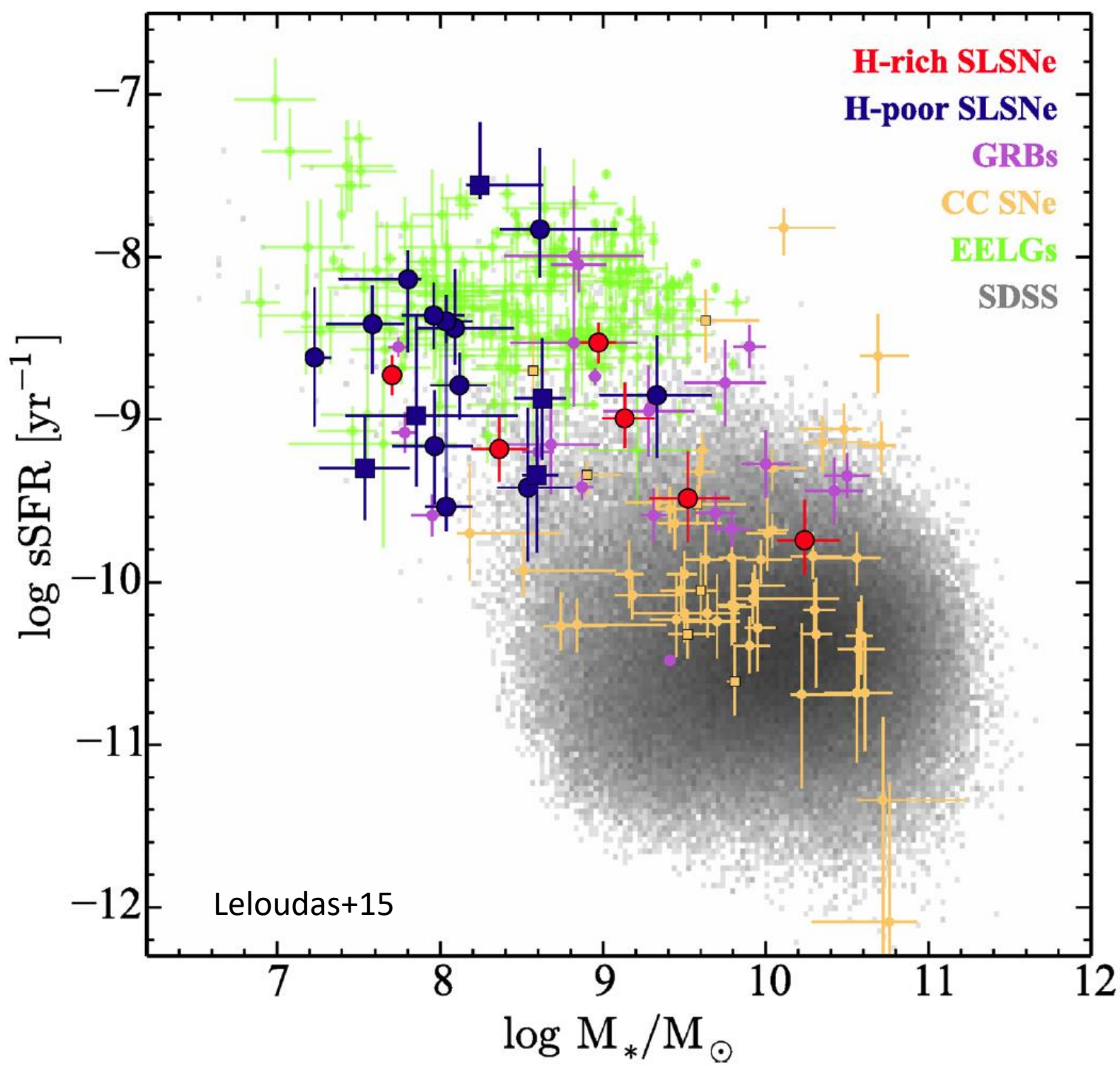
# Host Galaxies

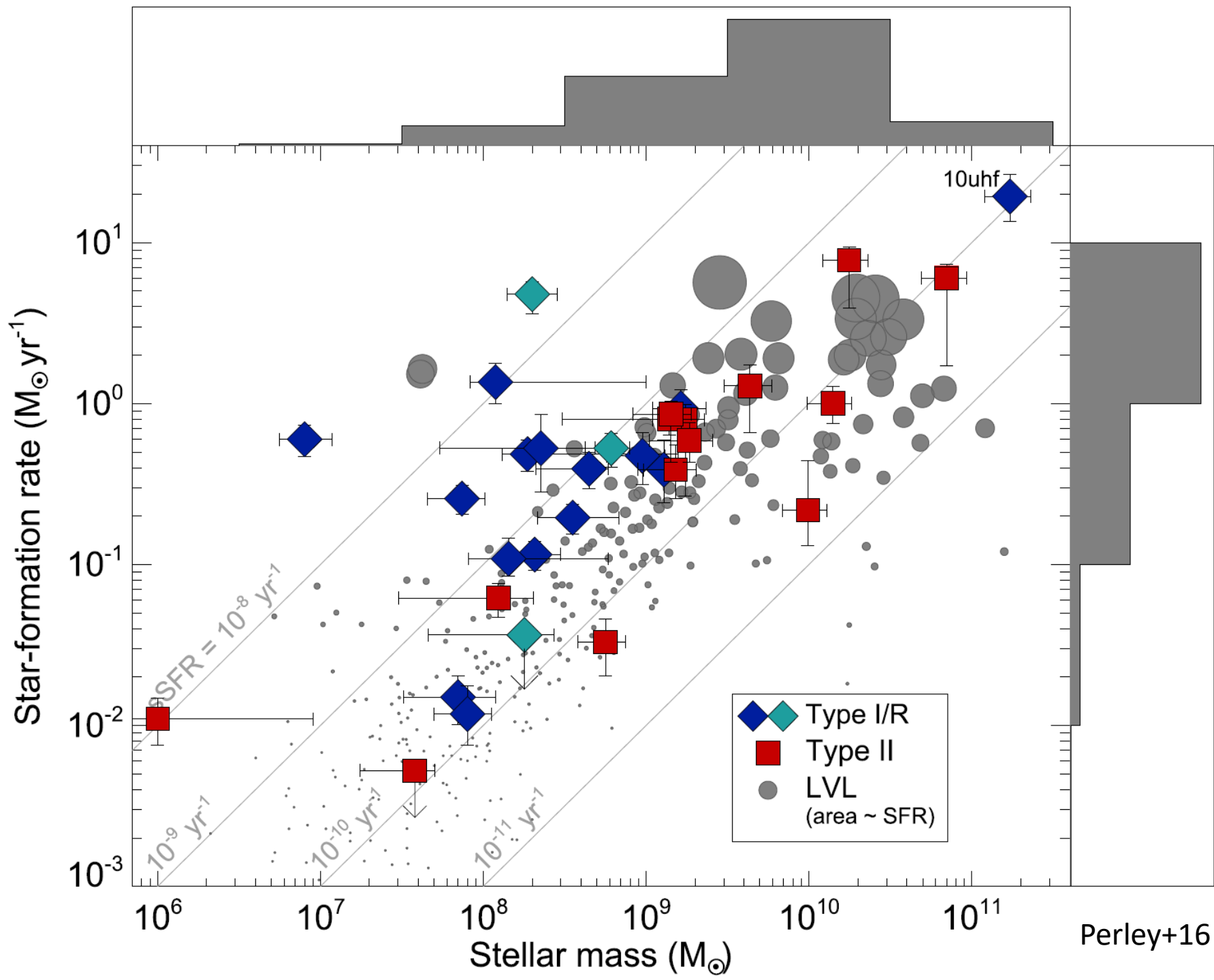
- SLSN-I hosts
  - low-luminosity, low stellar mass, and low SFR galaxies compared to local star-forming galaxies and the hosts of core-collapse SNe,
- SLSN-II hosts
  - show a larger range
    - e.g., Lunnan+14; Leloudas+15; Angus+16; Perley+16
- Comparison between SLSN-I and long-duration GRB hosts → controversial issue
  - SLSN-I hosts have lower stellar mass and SFR
    - Leloudas+15; Angus+16
  - similar in terms of SFR, stellar mass, and specific SFR
    - Lunnan+14; Japelj+16
- SLSN-I occur in galaxies with strong nebular emission lines
  - common properties with Extreme Emission Line Galaxies (EELGs)
    - e.g., Leloudas+15; Perley+16





- Extreme Emission Line Galaxies (EELGs): low-mass, metal-poor, intensively star-forming galaxies with strong nebular lines and a hard ionizing radiation field



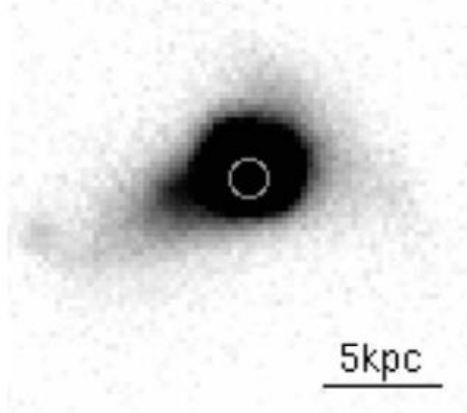


# VLA Proposal 2017A

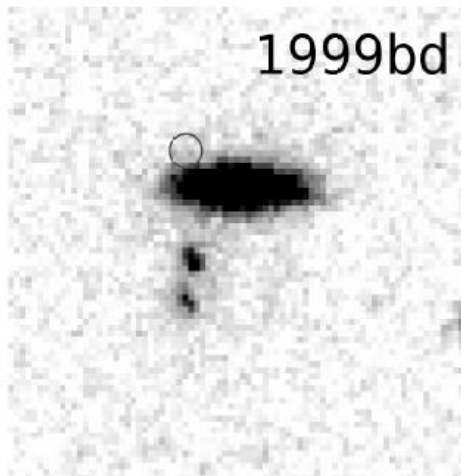
- 3 GHz continuum observations of 8 hosts at  $z < 0.3$
- To examine whether there is significant dust-obscured star formation or not
  - → allow us to derive true star forming activity
  - Studies of SLSN hosts have been made exclusively in UV/optical/NIR, which are sensitive to dust extinction
- 1. no significant obscured star formation
  - confirm the similarity between SLSN-I hosts and EELGs in  $M^*$ -SSFR plane
  - → support the idea that SLSN-I result from very first star exploding in a starburst, earlier than GRBs
- 2. significant obscured star formation
  - the hosts are starbursts
  - preferred by the progenitor model of dynamical interactions and collision of stars in dense young star clusters

# VLA Targets

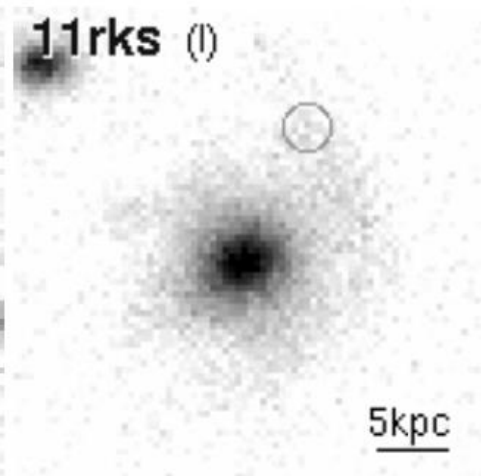
12dam (l)



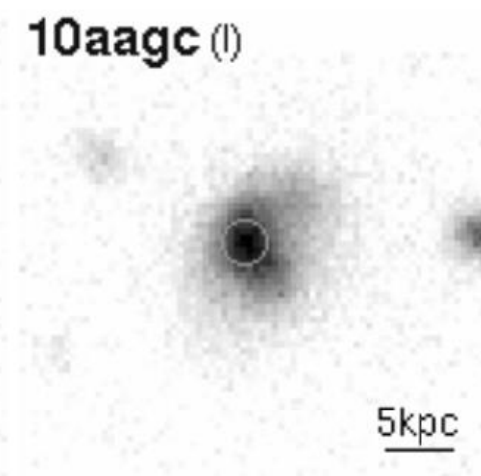
1999bd



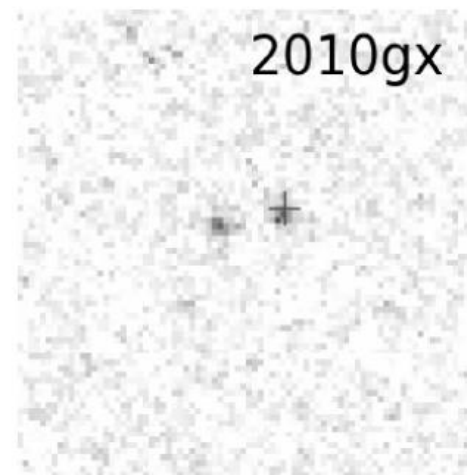
11rks (l)



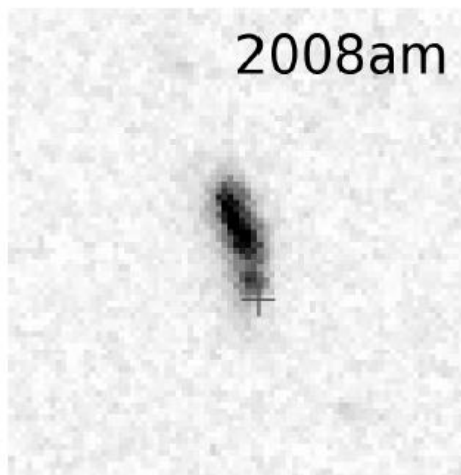
10aagc (l)



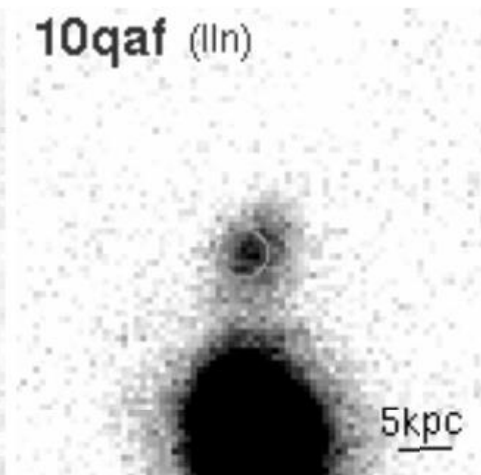
2010gx



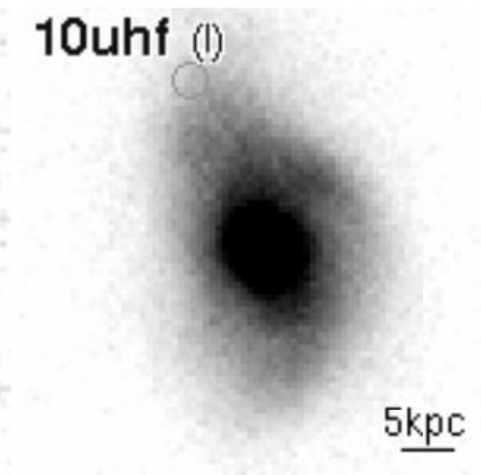
2008am



10qaf (lln)



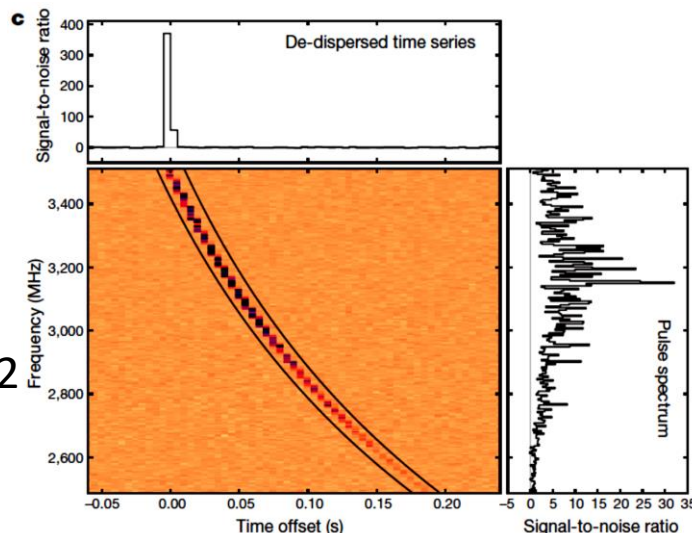
10uhf (l)



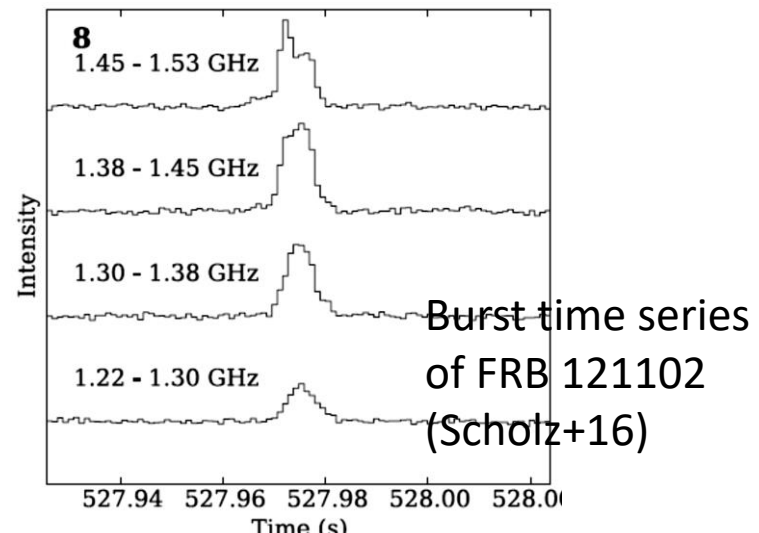
NIR images of the targets obtained by ground-based telescopes or HST (Angus+16; Perley+16). Circles and crosses represent SLSN positions. 10" x 10"

# Fast Radio Burst (FRB)

- 継続時間が数ミリ秒の謎のフラッシュ現象
  - Parks, Arecibo, GBT
  - peak flux  $\sim 0.5\text{-}1$  Jy at 1.4 GHz
  - dispersion measures (DMs)  $>\sim 300$  pc cm<sup>-3</sup>
  - → extragalactic origin?
    - SN? GRB? magnetar?



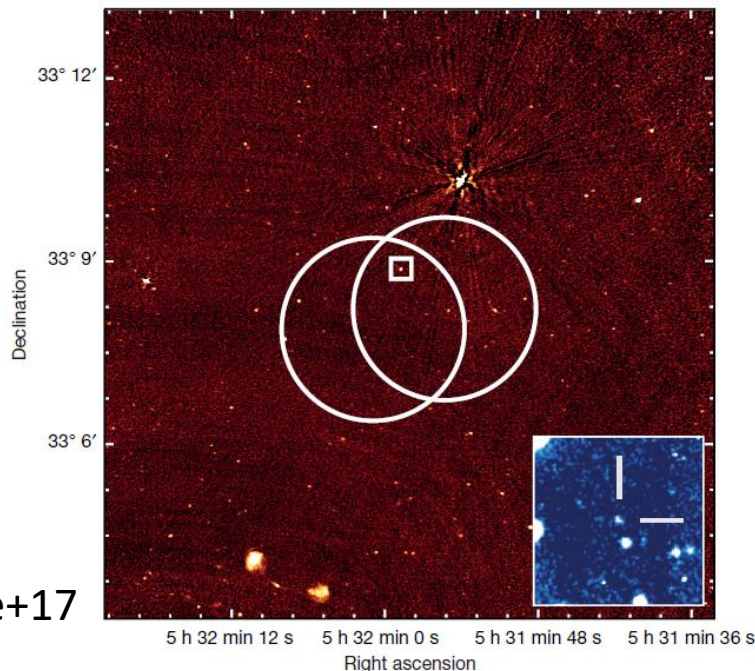
Time–frequency data of FRB 121102 (Chatterjee+17)



Burst time series of FRB 121102 (Scholz+16)

# Host Galaxy of FRB 121102

- VLA detection of the repeating FRB 121102
- Host galaxy at  $z = 0.19273$ 
  - dwarf, low-mass, low-metallicity galaxy
  - → similar to long GRB hosts and SLSN hosts



$M^*$ ( $M_{\text{sun}}$ )	$(4-7) \times 10^7$
SFR( $H\alpha$ ) ( $M_{\text{sun}}/\text{yr}$ )	0.4
$12+\log[\text{O}/\text{H}]$	$<8.4 (3\sigma)$

Tendulkar+17

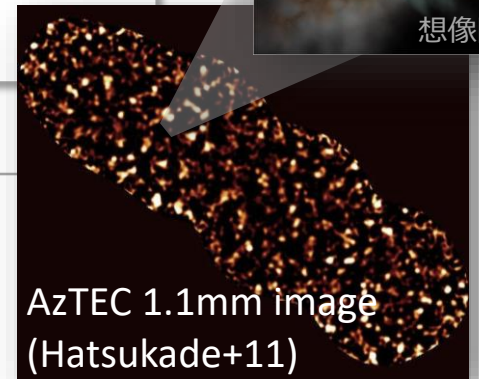
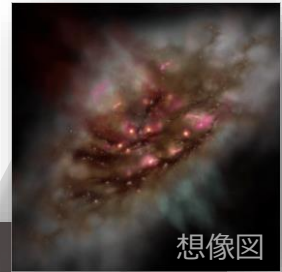
## ② サブミリ波銀河

**サブミリ波銀河**：ミリ波・サブミリ波で明るい銀河

- ダストに厚く覆われた大規模星形成銀河
- FIR luminosity  $>10^{12-13}$  Lsun (ダスト熱放射)
- 星形成率  $\sim$  数100-1000 Msun/yr
- 赤方偏移  $z \sim 1-4$ ,  $z > 4, 5$  のものも

**サブミリ波銀河の重要性**

- ダストに隠された星形成銀河への寄与
- 遠赤外背景放射への寄与
- 近傍宇宙の大質量楕円銀河の祖先？



**個数密度分布を調べることが重要な課題**

# ナンバーカウントの作成

## ASTE望遠鏡搭載AzTECカメラによるサーベイ

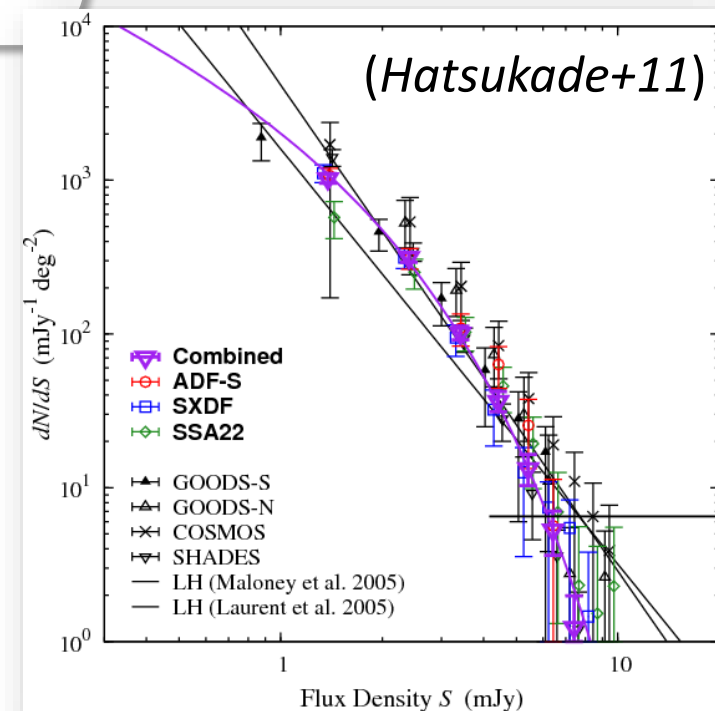
- 波長1.1mm
- サーベイ面積：3平方度以上
- 1000個以上のサブミリ波銀河を検出  
(850um-1.1mm帯で最多)



## ナンバーカウント

- 1.1mmでの宇宙背景への寄与は  
およそ**10%**

➡ より暗い (<1mJy) ソースが  
大きく寄与



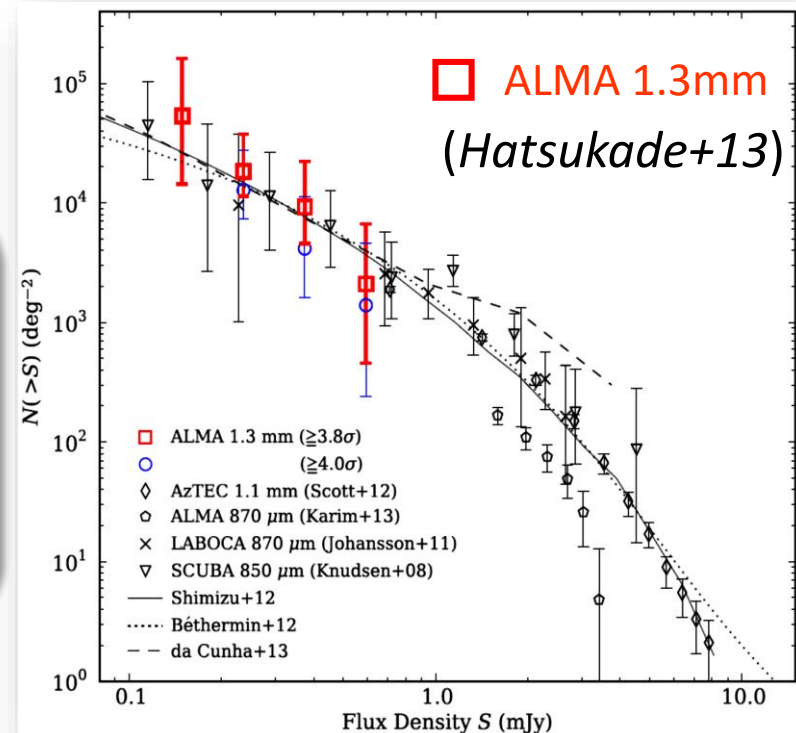
# ナンバーカウント：Faint End

## ALMAを用い、最も暗い部分のナンバーカウントを作成

- ALMA cycle 0にて、20個の遠方星形成銀河を観測
- 偶然に15個の暗いソースを検出 (AzTEC観測より一桁暗い)

## 暗いサブミリ波銀河

- 1.3mmでの宇宙背景への寄与はおよそ**80%**
- これまで見つかったサブミリ波銀河と比べると、より**一般的な星形成銀河に近い**



# サブミリ波銀河ナンバーカウントの決定

ALMA・ASTE/AzTECを用いた観測

ナンバーカウントの faint end - bright end を統一的に理解

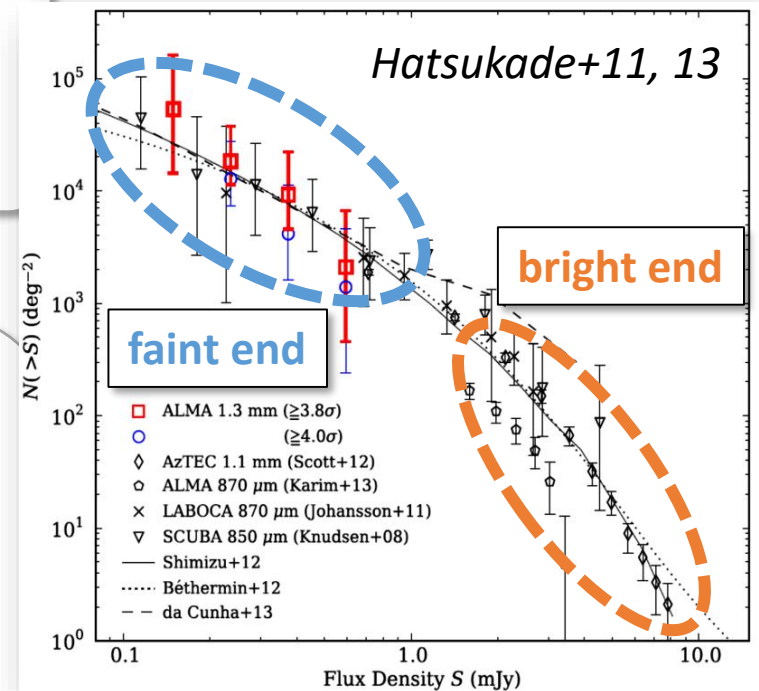
問題点

**bright end**

- 複数の銀河を一つとしてカウント？
- 重力レンズされた銀河の寄与

**faint end**

- サンプル数が少なく不定性大
- 星形成銀河周りで検出されたソースにはバイアス？



# ALMA

## bright end への制限

- AzTECで検出した明るい333個のサブミリ波銀河を高空間分解能観測 (1 arcsec)
- ALMA cycle 2, 3 (PI: Hatsukade)



複数のソースが寄与しているか検証

## faint end への制限

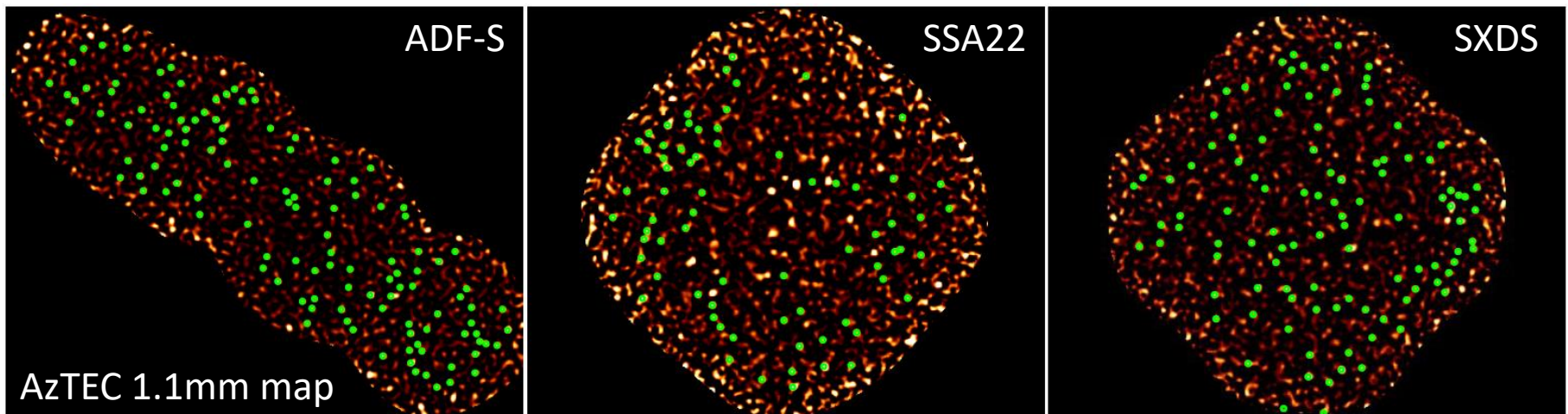
- SXDS 105" x 50" (PI: K. Kohno)
- GOODS-S 4.8' x 4.8' (PI: K. Kohno)



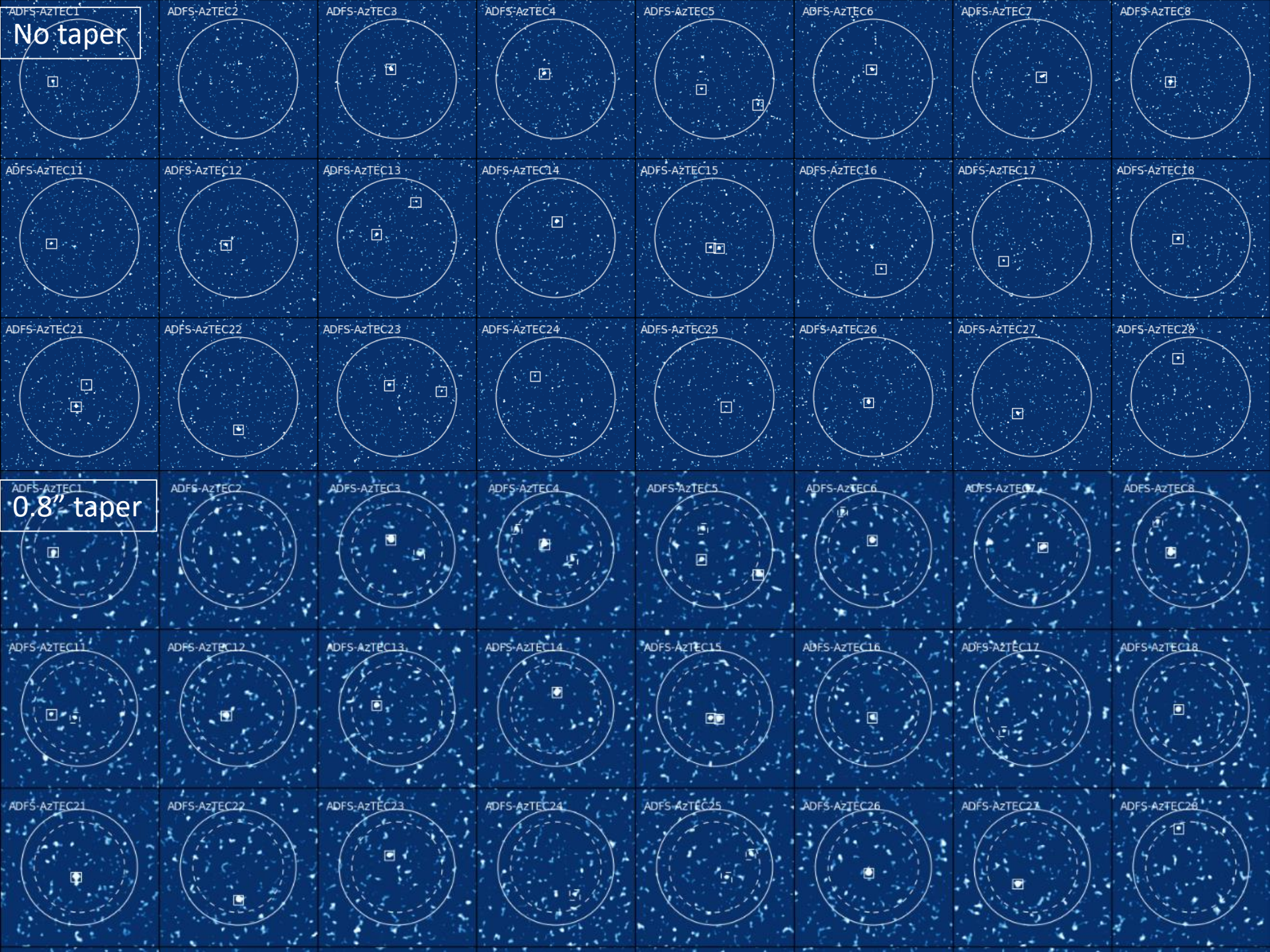
一般領域での広視野探査により  
バイアスのないサンプルを取得

# ALMA Observations of bright AzTEC Sources in ADFS/SXDS/SSA22

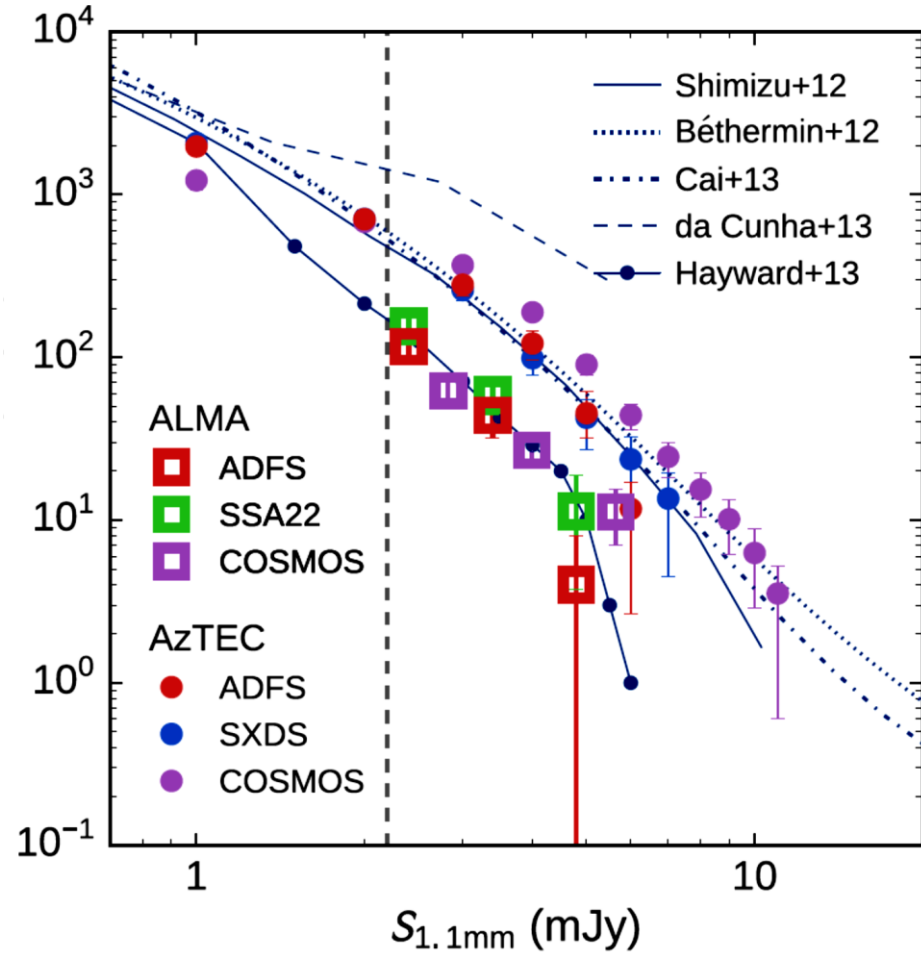
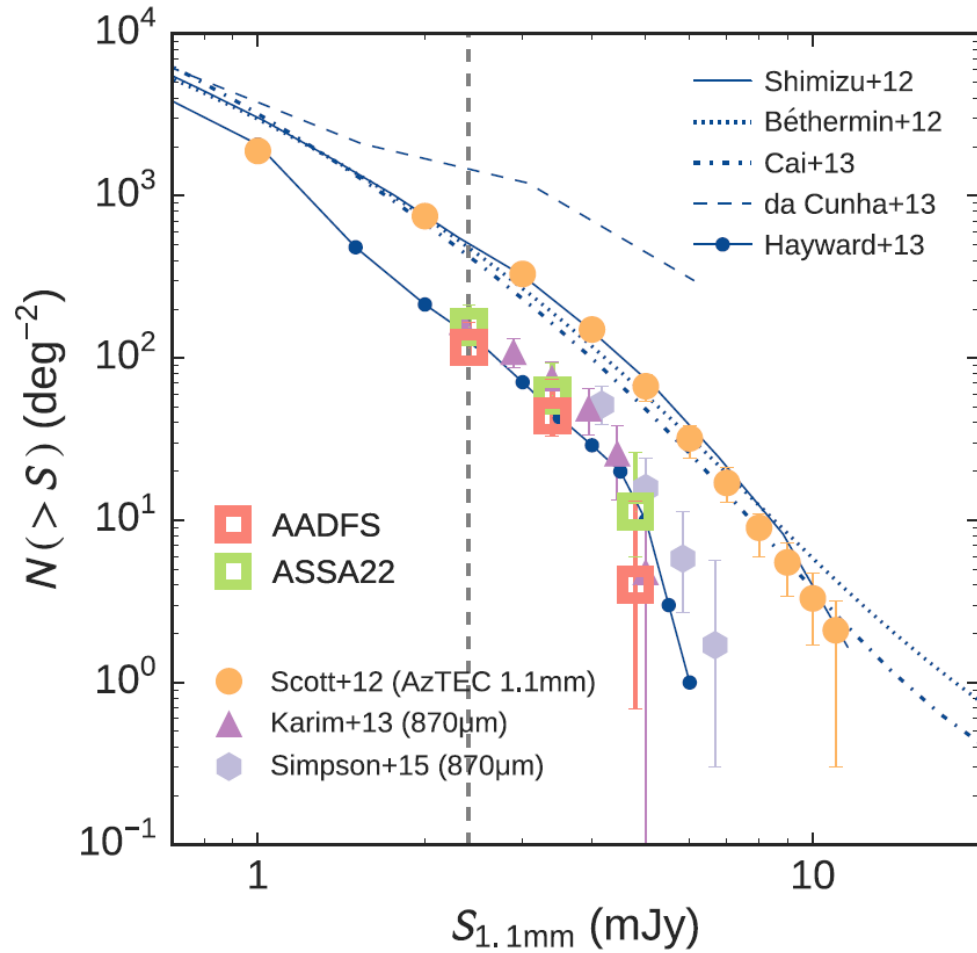
- cycle 2 & 3 (PI: B. Hatsukade)
- 333 sources
- Band 6 (1.1mm)
- proposed rms: 180  $\mu$ Jy



	Area (arcmin <sup>2</sup> )	rms (mJy/beam)	N (total)	N ( $\geq 2.4$ mJy)
ADF-S	909	0.38-0.80	233	100
SSA22	973	0.73-1.30	125	91
SXDS	954	0.52-0.92	280	142

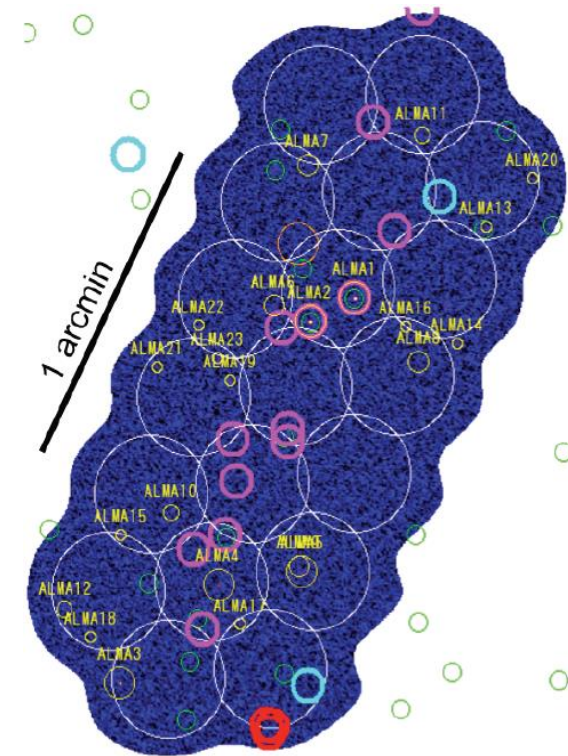


# Number Counts



# SXDS-ALMA Survey

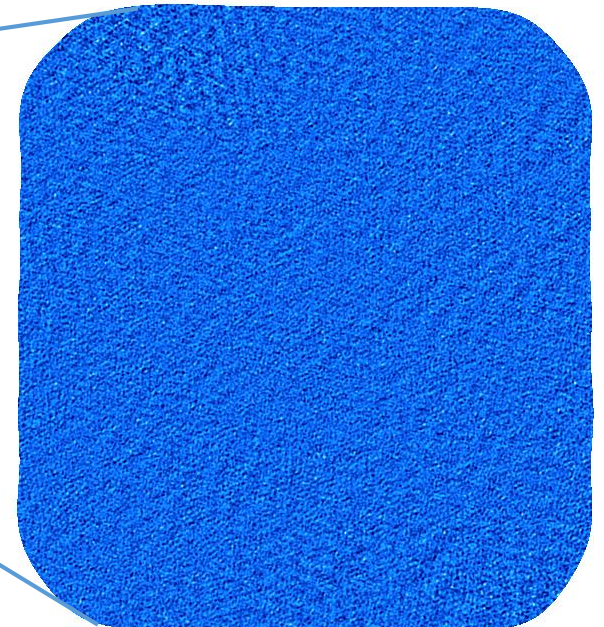
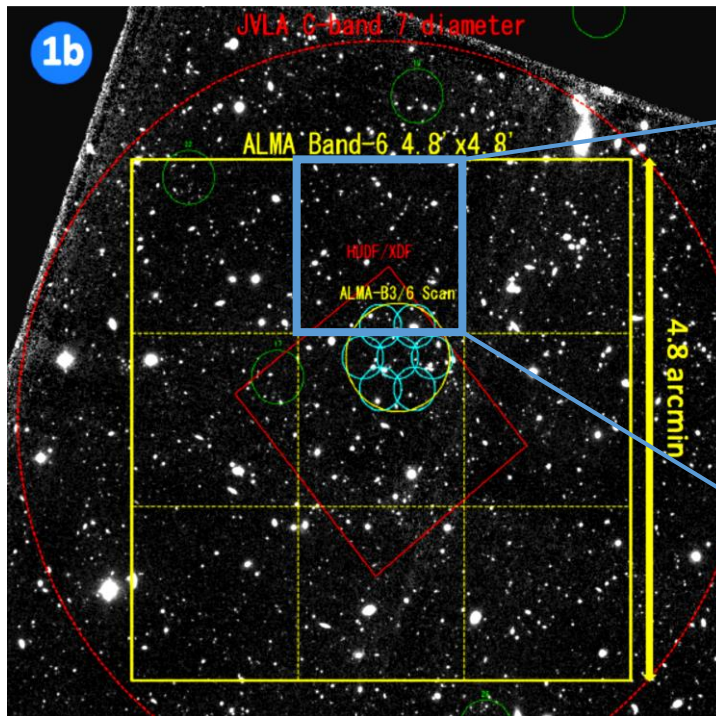
- ALMA observations of a contiguous 105'' x 50'' (or 2 arcmin<sup>2</sup>) window in the SXDF-UDS-CANDELS field
- PI: K. Kohno
- Band 6 (1.1 mm, 274 GHz)
- 19-point mosaic
- Total observing time: 3.6 hours
- Beam size: 0.53'' x 0.41''
- Typical rms noise level: 55  $\mu$ Jy/beam
- Publications:
  - survey design, source catalog: Kohno+ in prep.
  - properties of H $\alpha$ -selected galaxies: Tadaki+15
  - multi-wavelength analysis: Yamaguchi+ in prep., Wei-Hao+ in prep.



Kohno+15, IAU proc.  
Kohno+ in prep.

# GOODS-S-ALMA Survey

- ALMA cycle 4 (PI: K. Kohno)
  - survey area: 23 arcmin<sup>2</sup> (4.8' x 4.8')
  - x10 times wider than SXDF-ALMA
  - proposed depth: 60  $\mu$ Jy ( $1\sigma$ )
    - c.f., 55  $\mu$ Jy in SXDF-ALMA
- ➔ Expected number of detections  $\approx$  100-200 sources ( $\geq 4\sigma$ )???



# GOODS-S-ALMA Survey: preliminary

- data of tune1-north (1.6' x 1.6')
  - rms  $\sim$  110  $\mu$ Jy/b (taper 0.5")
- expected number of sources (SN>5)
  - $\sim$ 1-10

